

Angeregte Nukleonzustände – excited nucleon states

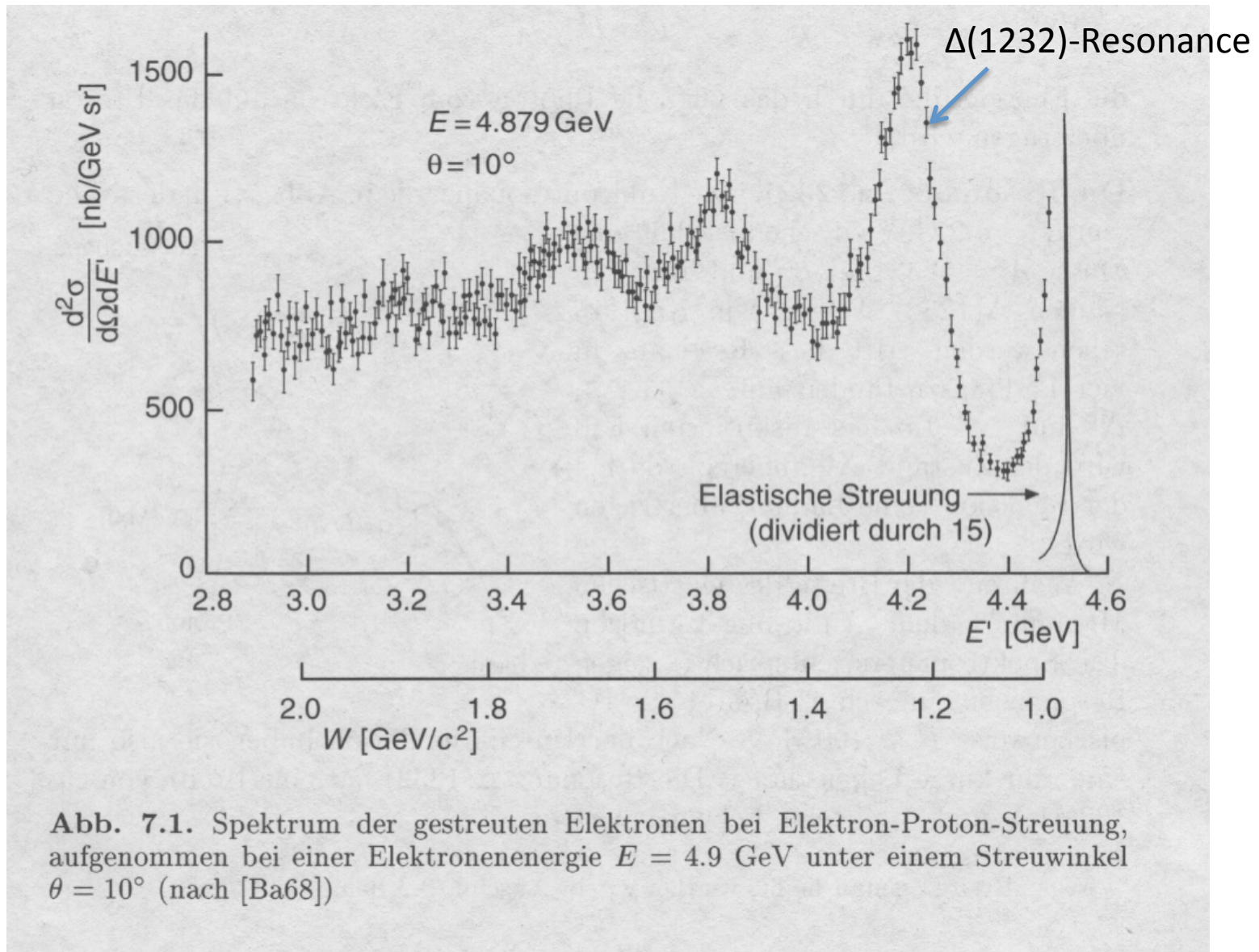
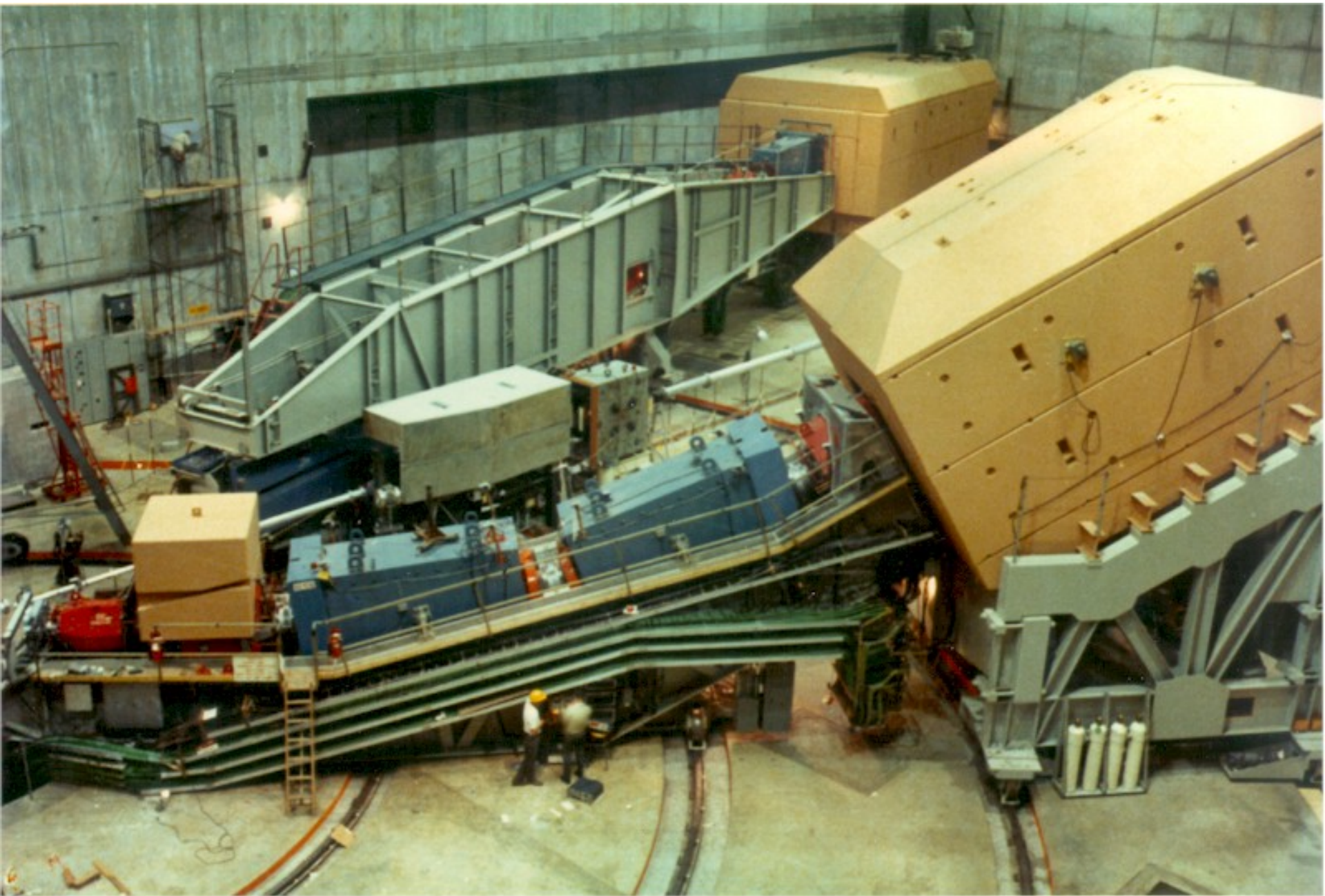


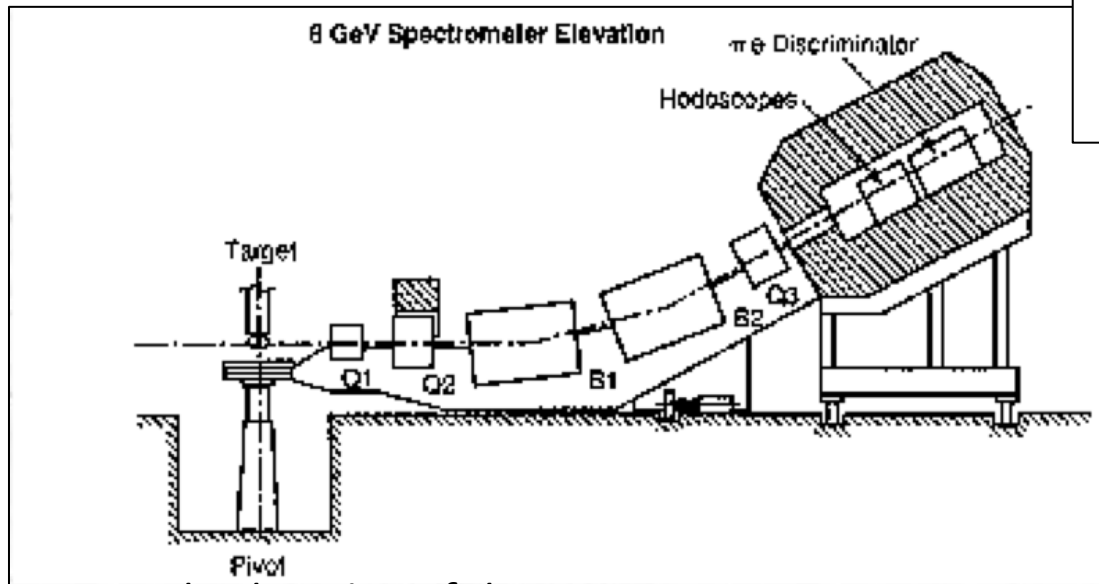
Abb. 7.1. Spektrum der gestreuten Elektronen bei Elektron-Proton-Streuung, aufgenommen bei einer Elektronenenergie $E = 4.9 \text{ GeV}$ unter einem Streuwinkel $\theta = 10^\circ$ (nach [Ba68])

(Aus Povh et al.)

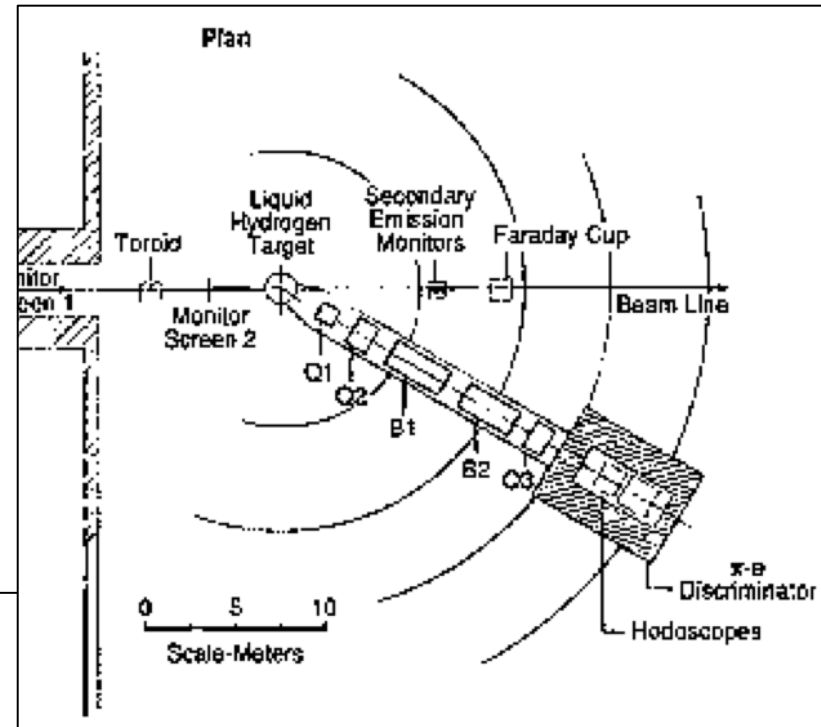
SLAC LINAC







Side elevation of the 8 GeV spectrometer. Magnets (B1, B2) bend scattered particles for momentum measurement.



Die Resonanz $\Delta(1232)$ " Δ -Resonanz" (1)

Die Resonanz in Nähe $E' = 4,2 \text{ GeV}$ (Abb)

hat eine kleine invariante Masse $M = 1232 \text{ MeV}/c^2$
 \Rightarrow wird Δ -Resonanz genannt

Resonanzen treten in vier Ladungszuständen Δ^{++} , Δ^+ , Δ^0 und Δ^-
hier diskutiert Δ^+ , da kein keine Ladung übertragen wird.

Breite in Abb ist durch exp. Auflösung des Spektrometers
gegeben. Intrinsic Breite von Δ^+ ist $\Gamma(\Delta(1232)) \approx 120 \text{ MeV}$

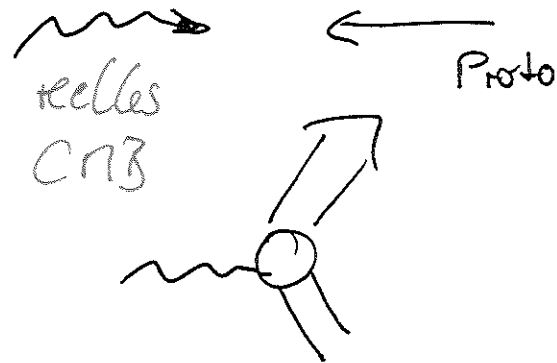
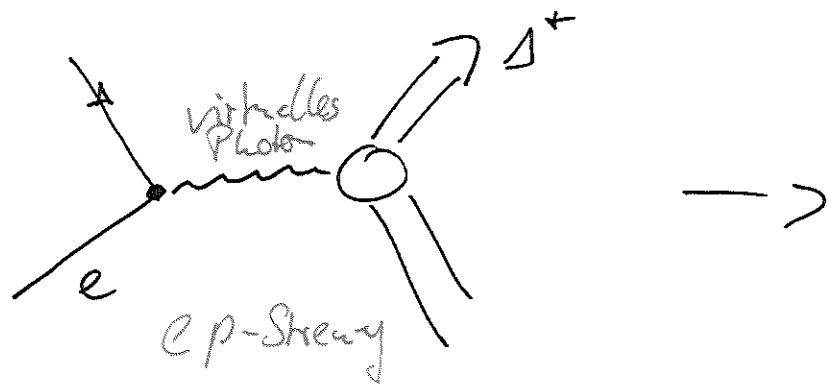
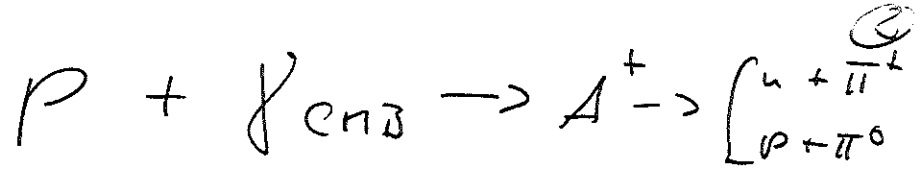
$$\tau = \frac{h}{\Gamma} = \frac{6.6 \cdot 10^{-22} \text{ MeVs}}{120 \text{ MeV}} \approx 5.5 \cdot 10^{-24} \text{ s}$$

typische Zeitskala d. starken WW

Zerfall der Δ^+ Resonanz :
 $\Delta^+ \rightarrow p + \pi^0$
 $\Delta^+ \rightarrow n + \pi^+$

(Erklärung)

Eriunng GZK-Cutoff :



Kescentij : Photon - Pion Produktionschwelle

$$E_p \approx 10^{20} \text{ eV}$$

=> Größe der $\approx 3 \text{ Mpc}$ (opaque)

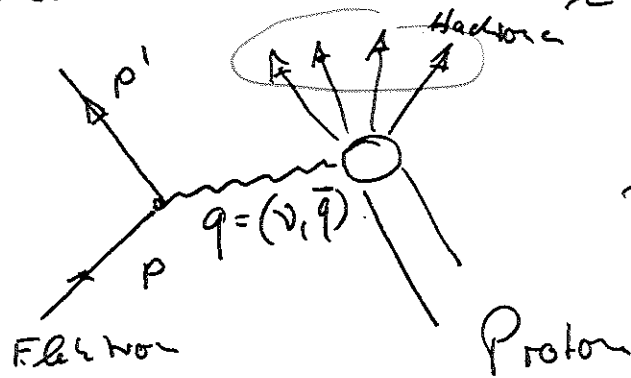
Zentrum d. Galaxie 8.3 kpc

nächste Radioquelle (Cent. A) $\approx 3 \text{ Mpc}$

Weglänge $\approx 22 \text{ Mpc}$

Struktur für Lithone

Für invariante Masse $W \geq 2.5 \text{ GeV}/c^2$



„inclusive Prozesse“:

lepton-nucleon Streuung in DIS
mit hohem Impulsübertrag q
ohne Einschränkungen auf
Art der Endzustände
↑
End-

$W \geq 2.5 \text{ GeV}/c^2$

\Rightarrow - keine einzelne Resonanzen

- viele zusätzliche stark WW Teilchen
(Hadronen)

Im inelastischen Fall: Strukturfunktion W_1 u. W_2
(anstatt Formfaktor)

Bei elastischer Streuung: wird vorgegeb. Energie $E \Rightarrow$ nur eine
freie Parameter
z.Bsp vorgeg. Winkel Θ , kann aufgrund
d. Kinematik Q^2 , Energieübertrag
 $\nu = E - E'$ etc. bestimmt

$$\text{Wegen } W = M \quad (\text{elast. Fall})$$

$$W^2 c^2 = M^2 c^2 + 2Mv - Q^2$$

$$\Rightarrow 2Mv - Q^2 = 0$$

Bei inelastischer Streuung kommt mit kinetischer Energie des Protons ein weiterer Freiheitsgrad dazu.

\Rightarrow bei inelast. Streuung: Strukturfunktion (und WQ)
Funktion zweier unabhängiger Parameter z. Bsp (E', θ)
oder (Q^2, ν)

$$\text{Wegen } W > M \text{ gilt } 2Mv - Q^2 > 0$$

Anstelle d. Rosenbluth-Formel erhält man WQ

$$\frac{d^2\sigma}{d\Omega dE'} = \left(\frac{d\sigma}{d\Omega} \right)_{\text{rot}} \left[W_2(Q^2, \nu) + 2W_1(Q^2, \nu) \tan^2 \frac{\theta}{2} \right]$$

Ersten tief inelastischen Streuprozesse unter ca. 1960 am SLAC
(Stanford Linear Accelerator) mit max. 25 GeV Energie

(Abb. 5.11 Skizze)

⑤

Q^2 -Abhängigkeit im Gegensatz zu starren Abfall

$$|G^{\text{Dipol}}|^2 \propto \frac{1}{Q^2} \quad \left(G(Q^2) = \frac{1}{\left(1 - \frac{Q^2}{M}\right)^2} \right)$$

bei elastischer Streuung

bei inelastischer Streuung: $\Rightarrow W_1, W_2$ für feste Werte d. invarianten Masse, hängen dann von Q^2 ab!

Bjorken'sche Skalenvariable

$$x := \frac{Q^2}{2Pq} = \frac{Q^2}{2Mv}$$

Dimensionslose Größe ist zum Maß für die Inelastizität des Prozesses

Bei elastischer Streuung gilt $W = M \Rightarrow 2Mv - Q^2 = 0$

$$\Leftrightarrow x = 1$$

bei inelast. Prozesse gilt $W > M \Rightarrow 2Mv - Q^2 > 0$

$$\Leftrightarrow 0 < x < 1$$

Anstatt dimensionsbehafteter Strukturfunktion

$W_1(Q^2, \nu)$ und $W_2(Q^2, \nu)$ werden reines dimensionslose Strukturfunktion genannt:

$$\overline{F}_1(x, Q^2) = \nu c^2 W_1(Q^2, \nu)$$

$$\overline{F}_2(x, Q^2) = \nu W_2(Q^2, \nu)$$

Aus WQ wird $\overline{F}_1(x, Q^2)$ und $\overline{F}_2(x, Q^2)$ extrahiert

$\overline{F}(x, Q^2)$ hängt für feste Wert von x nicht bzw.

schwach von Q^2 ab (Abb) $\Rightarrow \overline{F} \approx \text{const} \Rightarrow$ punktförmige

Konstituenten

Experimentelle Beobachtung: Nukleone besteht aus
Unterstruktur aus punktförmige //
Konstituenten

Zunächst werden diese Konstituenten als Partonen bezeichnet und später mit Quarks und Gluonen identifiziert.

Anregungsspektren in DIS Elektron-Nukleon-Streuung

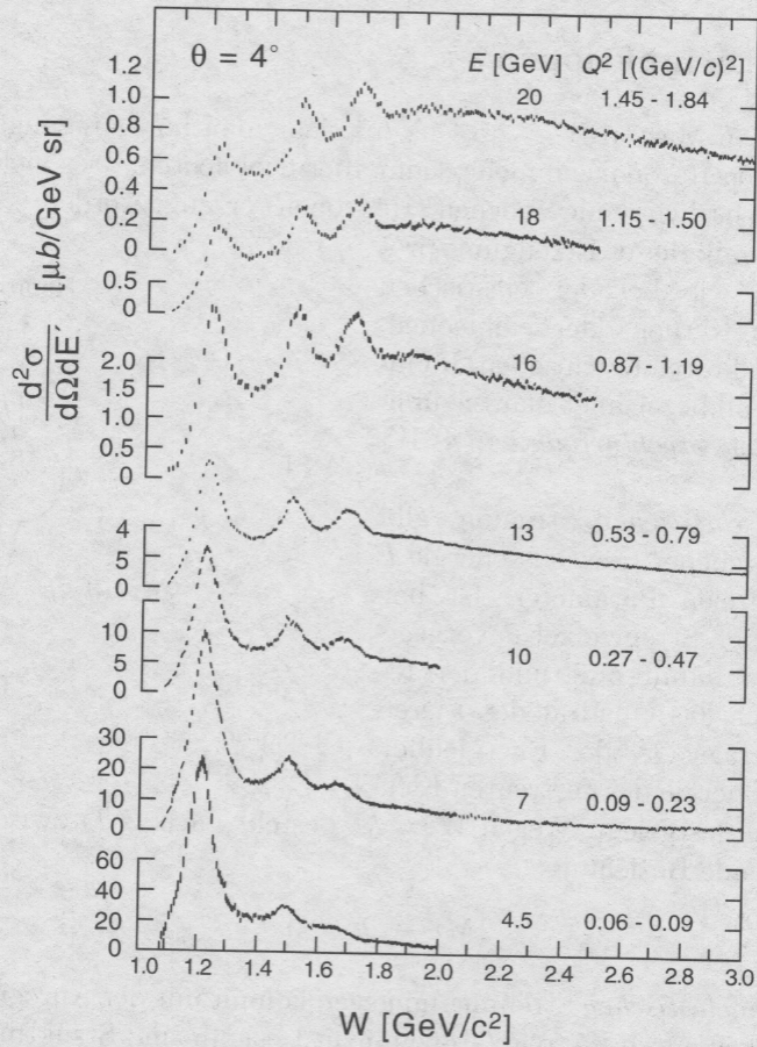


Abb. 7.2. Elektron-Proton-Streuung: gemessene Anregungsspektren in der tiefinelastischen Elektron-Nukleon-Streuung als Funktion der invarianten Masse W [St75]. Man beachte die unterschiedlichen Skalen an der Ordinatenachse. Die Messungen wurden bei einem festen Streuwinkel von $\theta = 4^\circ$ durchgeführt. Mit zunehmender Einfallsenergie E wächst der mittlere Q^2 -Bereich der Daten. Während insbesondere die erste Resonanz ($W = 1.232 \text{ GeV}/c^2$) immer weniger ausgeprägt wird, nimmt das Kontinuum ($W \gtrsim 2.5 \text{ GeV}/c^2$) nur geringfügig ab.

Inelastische Elektron-Proton-Streuung: schwache q^2 Abhängigkeit ist Hinweis auf punktförmige Konstituenten

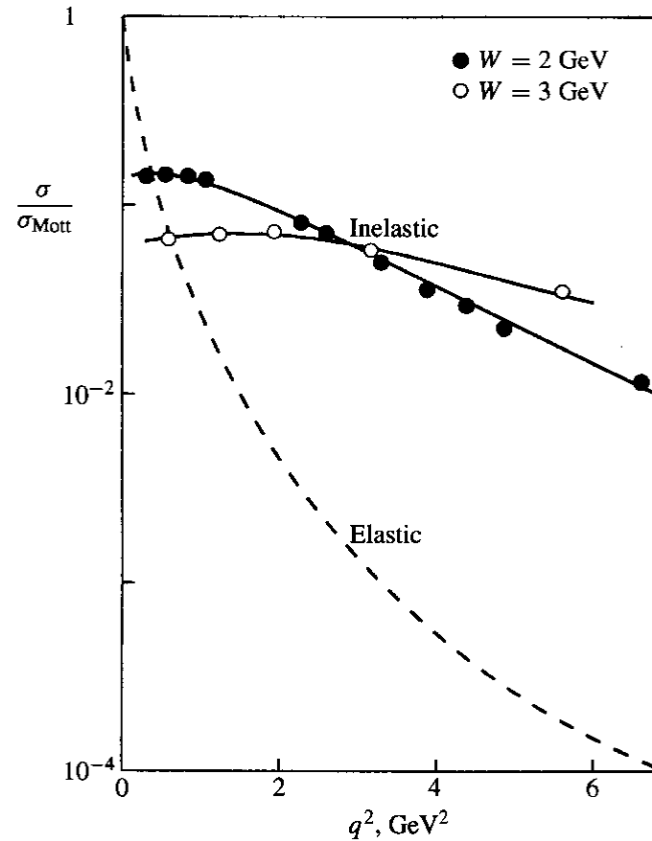


Fig. 5.11. Early SLAC measurements of the inelastic electron–proton scattering cross-section divided by the Mott (pointlike) cross-section, for two values of the invariant mass W of the hadronic final state. The ratio is seen to be only weakly q^2 -dependent, in contrast with the strong q^2 dependence of the elastic scattering process, taken from Figure 5.9.

(7)

\overline{F}_1 ruht von der magnet. WW her und verschwindet bei Streuung an Spin-0 Teilchen. Für Dirac-Teilchen mit Spin- $\frac{1}{2}$ kann man zeigen, dass Callan-Gross-Beziehung $2 \times \overline{F}_1(x) = \overline{F}_2(x)$ gilt (Übungsaufgabe)

$$\frac{2 \times \overline{F}_1(x)}{\overline{F}_2(x)} \approx 1$$

Wenn exp. bestätigt \Rightarrow punktförmige Konstituenten des Nucleon haben Spin $\frac{1}{2}$

(Abb.)

Infinite-Momentum-frame : Massen d. Protons kann vernachlässigt werden $P = (|P|, \underbrace{p, 0, 0}_{\text{transversal Impuls } p_T})$

Callan-Gross-Beziehung

$$2xF_1(x) = F_2(x):$$

Konstituenten des Nukleons haben Spin 1/2

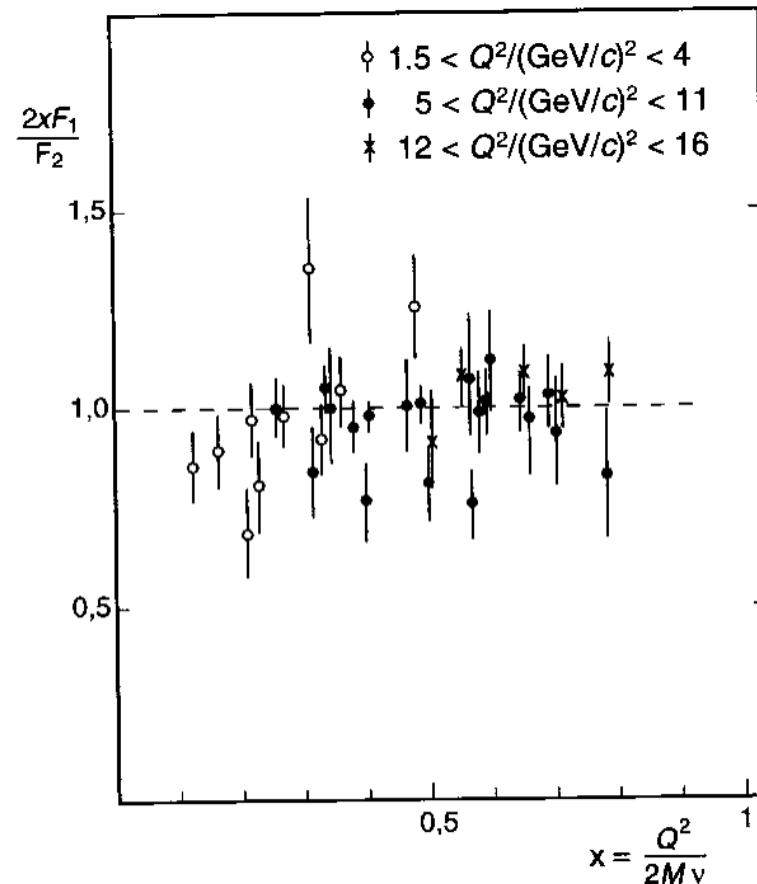


Abb. 7.5. Verhältnis der Strukturfunktionen $2xF_1(x)$ und $F_2(x)$. Die Daten stammen aus Experimenten am SLAC (nach [Pe87]). Wie man sieht, ist der Quotient etwa konstant Eins.

Elektron-Parton Kollision

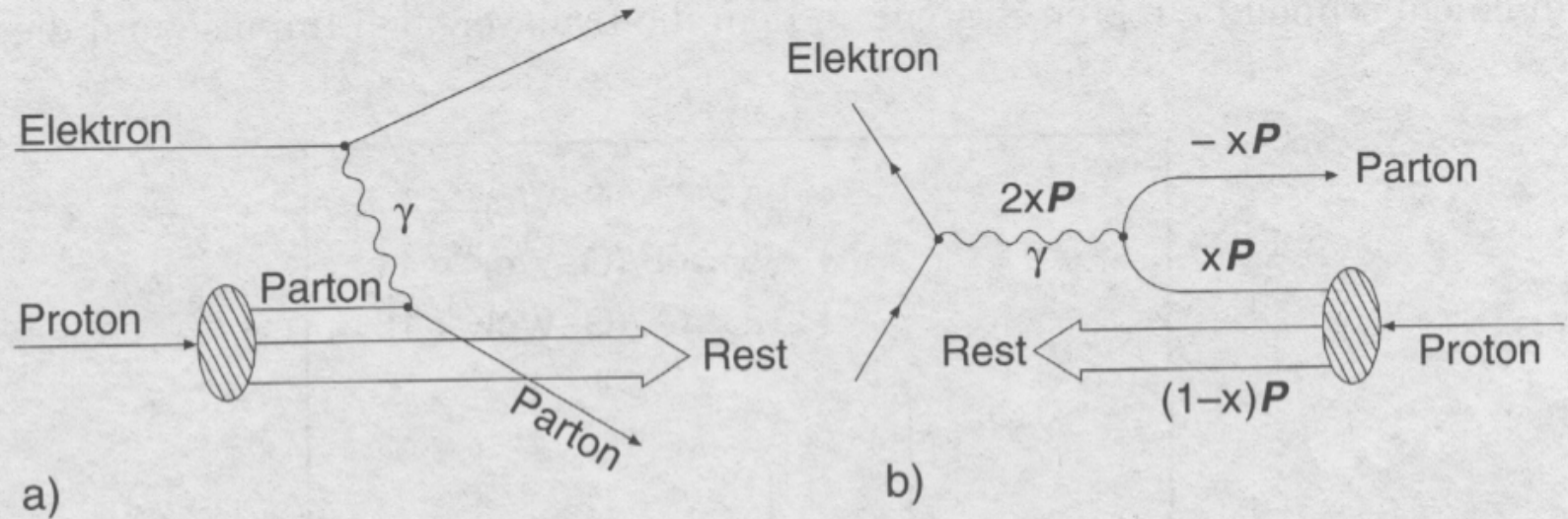


Abb. 7.6. Schematische Darstellung der tiefinelastischen Elektron-Proton-Streuung im Partonmodell im Laborsystem (a) und einem schnell bewegten System (b). In dieser Skizze haben wir eine Darstellung in zwei Ortsdimensionen gewählt; die Pfeile geben die Impulsrichtungen an. Skizze (b) stellt den Streuprozess im Breitensystem dar, in dem der Energieübertrag des virtuellen Photons Null ist. Der Impuls des getroffenen Partons kehrt sich daher um, bleibt im Betrag aber unverändert.

Elektron-Parton Kollision

5.7 Deep inelastic scattering and quarks

159

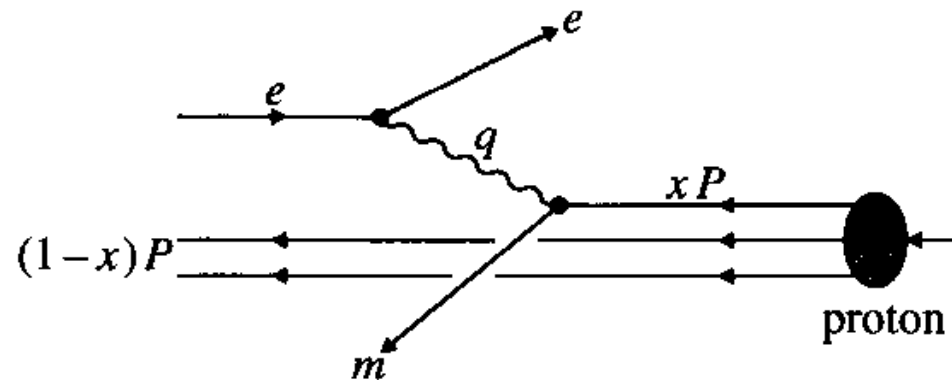
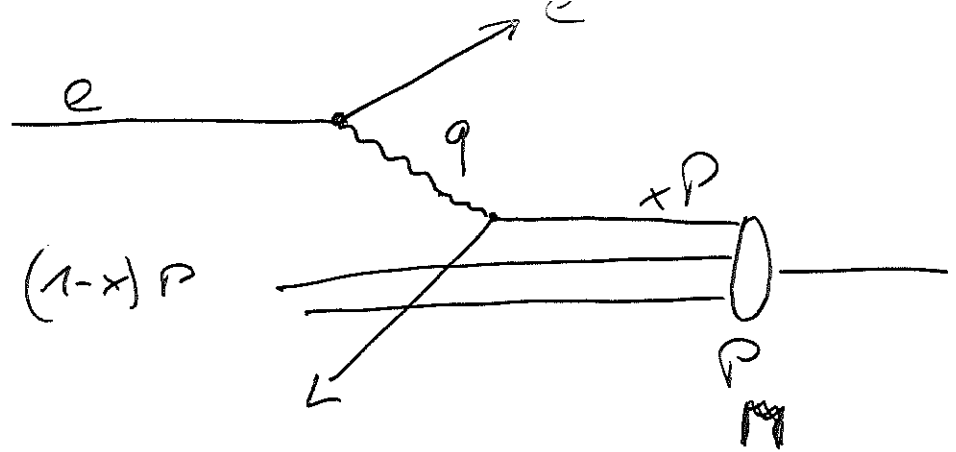


Fig. 5.12. Electron-parton collision via single-photon exchange, seen in the infinite-momentum frame of the target proton.



4-impuls P
 xP , $0 < x < 1$
 $\sum xP = P$

Annahme, daß ein Proton mit Masse m elastisch an Lepton streut und dessen Impuls q absorbiert

$$\Rightarrow (xP + q)^2 = m^2 c^2 \approx 0$$

$$x^2 P^2 + q^2 + 2xPq \approx 0$$

$$\text{für } x^2 P^2 \approx x^2 m^2 \ll q^2$$

$$\Rightarrow x = \frac{-q^2}{2Pq} = \frac{Q^2}{2m\nu} \quad (= \text{Bjorken'sche SkalenvARIABLE})$$

Ausdrückliche Identifizierung d. Bjorken'sche SkalenvARIABLE:

"Bruchteil des Viererimpulse des Protons, der von einem Proton getragen wird"